

Aproximación Numérica de la Ecuación de Laplace en un Cuarto de Anillo Circular

Daniel Fabian Serrano Galvis
Carlos Andrés Ordóñez Cerón

Introducción

La ecuación de Laplace, $\Delta u = 0$, es una ecuación diferencial clave en física y matemáticas aplicadas, modelando fenómenos como el flujo de calor en equilibrio, el potencial eléctrico y la distribución de temperaturas. En este trabajo, se resuelve numéricamente en un cuarto de anillo circular en el primer cuadrante ($1 < x^2 + y^2 < 4, x, y > 0$). Utilizamos un esquema de diferencias finitas en coordenadas polares para aproximar $u(x, y)$, evaluando la precisión del método frente a la solución exacta y analizando su convergencia numérica.

Definición del Problema

Resolver $\Delta u = \frac{\partial^2 u}{\partial x^2} + \frac{\partial^2 u}{\partial y^2} = 0$ en el dominio $\Omega = \{(x, y) \in \mathbb{R}^2 : x, y > 0, 1 < x^2 + y^2 < 4\}$, con condiciones de borde Dirichlet:

- $u(x, 0) = \ln(x), x \in [1, 2],$
- $u(0, y) = \ln(y), y \in [1, 2],$
- $u(x, y) = 0, \text{ en } x^2 + y^2 = 1,$
- $u(x, y) = \ln(2), \text{ en } x^2 + y^2 = 4.$

La solución exacta es $u(x, y) = \frac{1}{2} \ln(x^2 + y^2)$.

Método Numérico

Cambio a coordenadas polares: Se transforma el problema a coordenadas polares (r, θ) con $x = r \cos(\theta), y = r \sin(\theta)$, definiendo $\Omega = \{(r, \theta) : 1 < r < 2, 0 < \theta < \pi/2\}$. La ecuación de Laplace se convierte en:

$$\frac{\partial^2 u}{\partial r^2} + \frac{1}{r} \frac{\partial u}{\partial r} + \frac{1}{r^2} \frac{\partial^2 u}{\partial \theta^2} = 0.$$

Y las condiciones de borde:

- $u(r, 0) = \ln(r), \quad r \in [1, 2],$
- $u(r, \pi/2) = \ln(r), \quad r \in [1, 2].$
- $u(1, \theta) = 0, \quad \theta \in [0, \pi/2],$
- $u(2, \theta) = \ln(2), \quad \theta \in [0, \pi/2].$

Esquema de diferencias finitas: Se discretiza en una malla $r_i = 1 + ih_r, \theta_j = jh_\theta$, con $h_r = 1/N_r, h_\theta = \pi/(2N_\theta), i = 0, \dots, N_r, j = 0, \dots, N_\theta$. Las derivadas se aproximan mediante diferencias centradas:

$$\frac{\partial^2 u}{\partial r^2} \approx \frac{u_{i+1,j} - 2u_{i,j} + u_{i-1,j}}{h_r^2}, \quad \frac{\partial u}{\partial r} \approx \frac{u_{i+1,j} - u_{i-1,j}}{2h_r}, \quad \frac{\partial^2 u}{\partial \theta^2} \approx \frac{u_{i,j+1} - 2u_{i,j} + u_{i,j-1}}{h_\theta^2}.$$

Sistema de ecuaciones: Sustituyendo en la ecuación, para nodos interiores ($i = 1, \dots, N_r - 1, j = 1, \dots, N_\theta - 1$), se obtiene:

$$a_{i,j}u_{i+1,j} + b_{i,j}u_{i-1,j} + c_{i,j}u_{i,j+1} + d_{i,j}u_{i,j-1} + e_{i,j}u_{i,j} = 0,$$

donde $a_{i,j} = h_\theta^2 r_i^2 + \frac{h_r h_\theta^2 r_i}{2}, b_{i,j} = h_\theta^2 r_i^2 - \frac{h_r h_\theta^2 r_i}{2}, c_{i,j} = d_{i,j} = h_r^2, e_{i,j} = -(2h_\theta^2 r_i^2 + 2h_r^2)$, ajustado por condiciones de borde.

Sistema matricial: El sistema se expresa como $\mathbf{A}\mathbf{u} = \mathbf{b}$, con \mathbf{u} las incógnitas interiores y \mathbf{A} una matriz de cinco diagonales:

$$A = \begin{bmatrix} D_1 & T_1 & 0 & \cdots & 0 \\ S_2 & D_2 & T_2 & \ddots & \vdots \\ 0 & S_3 & D_3 & \ddots & 0 \\ \vdots & \ddots & \ddots & \ddots & T_{N_r-2} \\ 0 & \cdots & 0 & S_{N_r-1} & D_{N_r-1} \end{bmatrix},$$

donde D_i es tri diagonal de tamaño $(N_\theta - 1) \times (N_\theta - 1)$:

$$D_i = \begin{bmatrix} e_{i,1} & c_{i,1} & 0 & \cdots & 0 \\ d_{i,2} & e_{i,2} & c_{i,2} & \ddots & \vdots \\ 0 & d_{i,3} & e_{i,3} & \ddots & 0 \\ \vdots & \ddots & \ddots & \ddots & c_{i,N_\theta-2} \\ 0 & \cdots & 0 & d_{i,N_\theta-1} & e_{i,N_\theta-1} \end{bmatrix},$$

$T_i = \text{diag}(a_{i,1}, \dots, a_{i,N_\theta-1}), S_i = \text{diag}(b_{i,1}, \dots, b_{i,N_\theta-1})$. El vector $\mathbf{b} = [b_1, b_2, \dots, b_{(N_r-1)(N_\theta-1)}]^T$ incorpora las condiciones de borde en los nodos correspondientes a nodos exteriores, mientras que es 0 en los nodos interiores. Por otro lado, las incógnitas a encontrar son $\mathbf{u} = [u_{1,1} \ u_{1,2} \ \dots \ u_{1,N_\theta-1} \ \dots \ u_{N_r-1,1} \ u_{N_r-1,2} \ \dots \ u_{N_r-1,N_\theta-1}]$. Finalmente multiplicando por -1 , el sistema se reformula como $-\mathbf{A}\mathbf{u} = -\mathbf{b}$. El sistema a resolver es $\mathbf{u} = (-A)^{-1}(-\mathbf{b})$, y en la siguiente sección se demostrará que $-A$ es monótona.

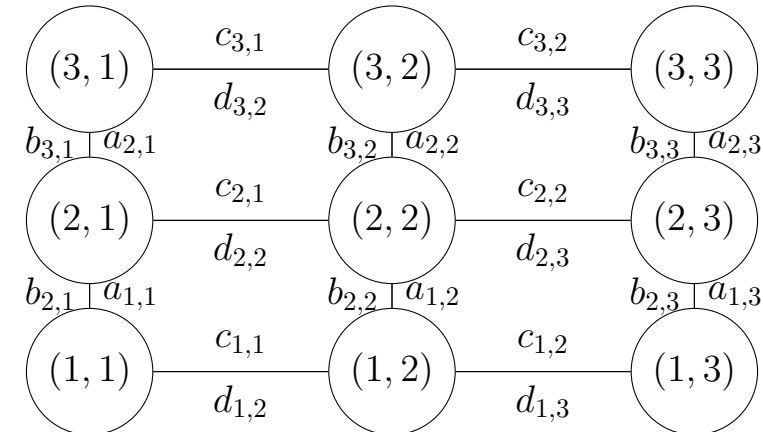
Condición de Monotonía

Se demuestra que $-A$ es monótona usando el Teorema 2: $-A$ debe ser una matriz L irreducible, débilmente diagonal dominante y estrictamente diagonal dominante en alguna fila.

- Propiedades de $-A$:** Dado que A tiene $e_{i,j} < 0, a_{i,j}, b_{i,j}, c_{i,j}, d_{i,j} \geq 0$: Elementos de $-A$: $-e_{i,j} > 0$ (diagonal), $-a_{i,j}, -b_{i,j}, -c_{i,j}, -d_{i,j} \leq 0$ (fuera de diagonal).
- Dominancia:** Para nodos interiores, $|-e_{i,j}| = a_{i,j} + b_{i,j} + c_{i,j} + d_{i,j}$ (débil); para $i = 1$ y $i = N_r - 1, |-e_{i,j}| > \sum |-a_{i,j} - b_{i,j} - c_{i,j} - d_{i,j}|$ (estricta).
- Irreducibilidad:** El grafo de $-A$ es conexo, idéntico al de A . Ejemplo con $N_r - 1 = N_\theta - 1 = 3$:

$$A = \begin{bmatrix} e_{1,1} & c_{1,1} & 0 & a_{1,1} & 0 & 0 & 0 & 0 & 0 \\ d_{1,2} & e_{1,2} & c_{1,2} & 0 & a_{1,2} & 0 & 0 & 0 & 0 \\ 0 & d_{1,3} & e_{1,3} & 0 & 0 & a_{1,3} & 0 & 0 & 0 \\ b_{2,1} & 0 & 0 & e_{2,1} & c_{2,1} & 0 & a_{2,1} & 0 & 0 \\ 0 & b_{2,2} & 0 & d_{2,2} & e_{2,2} & c_{2,2} & 0 & a_{2,2} & 0 \\ 0 & 0 & b_{2,3} & 0 & d_{2,3} & e_{2,3} & 0 & 0 & a_{2,3} \\ 0 & 0 & 0 & b_{3,1} & 0 & 0 & e_{3,1} & c_{3,1} & 0 \\ 0 & 0 & 0 & 0 & b_{3,2} & 0 & d_{3,2} & e_{3,2} & c_{3,2} \\ 0 & 0 & 0 & 0 & 0 & b_{3,3} & 0 & d_{3,3} & e_{3,3} \end{bmatrix},$$

con conexiones: (i, j) a $(i + 1, j)$ ($a_{i,j}$), $(i - 1, j)$ ($b_{i,j}$), $(i, j + 1)$ ($c_{i,j}$), $(i, j - 1)$ ($d_{i,j}$). El grafo asociado (malla 3×3) es:



El grafo es conexo, confirmando que A es monótona para $h_r < 4$.

Resultados y Análisis

Descripción general: Se implementó un esquema de diferencias finitas en coordenadas polares para resolver numéricamente la ecuación de Laplace en $\Omega = \{(x, y) : x, y > 0, 1 < x^2 + y^2 < 4\}$. La solución u_{num} se comparó con la exacta $u(x, y) = \frac{1}{2} \ln(x^2 + y^2)$, evaluando errores y convergencia en varias normas.

Implementación del esquema numérico: En Python, se discretizó el dominio en una malla (r, θ) con $N_r = N_\theta = N$ ($N = 9, 17, 33, 65, 129$), usando $h_r = 1/(N - 1), h_\theta = \pi/(2(N - 1))$. La matriz A se construyó como dispersa con SciPy (lil_matrix y csr_matrix), y el sistema $-\mathbf{A}\mathbf{u} = -\mathbf{b}$ se resolvió con un método directo (spsolve), incorporando las condiciones de borde.

Resultados numéricos y análisis de errores: Se calcularon errores en normas L_2, L_∞ , y energía ($\|\cdot\|_h = h_r \|\cdot\|_2$), con tasas de convergencia estimadas como $\log(e_{k-1}/e_k)/\log(h_{k-1}/h_k)$. Resultados en la tabla siguiente:

Nr	N _θ	h	L ₂ Error	L _∞ Error	· _h Error	r _{L₂}	r _{L_∞}	r _{· _h}
9	9	1.25 × 10 ^{−1}	3.914891 × 10 ^{−5}	7.651278 × 10 ^{−5}	4.89361 × 10 ^{−6}	NaN	NaN	NaN
17	17	6.25 × 10 ^{−2}	1.052465 × 10 ^{−5}	1.932953 × 10 ^{−5}	6.5779 × 10 ^{−7}	2.0336	2.0767	3.0749
33	33	3.125 × 10 ^{−2}	2.72096 × 10 ^{−6}	4.85019 × 10 ^{−6}	8.503 × 10 ^{−8}	2.0655	2.1632	3.1554
65	65	1.5625 × 10 ^{−2}	6.9134 × 10 ^{−7}	1.21409 × 10 ^{−6}	1.08 × 10 ^{−8}	2.0394	2.0844	3.0844
129	129	7.8125 × 10 ^{−3}	1.7421 × 10 ^{−7}	3.0357 × 10 ^{−7}	1.36 × 10 ^{−9}	2.0211	2.0431	3.0436

Los errores disminuyen con N , con tasas de convergencia ≈ 2 para L_2 y L_∞ (esperado para diferencias centradas de orden 2), y ≈ 3 para $\|\cdot\|_h$ por el factor h_r .

Visualización: Se generaron mapas de contorno 2D para $N = 65$, transformando (r, θ) a (x, y) , mostrando la solución numérica (u_{num}), la solución exacta (u_{exact}), y el error absoluto (Figuras 1-3).

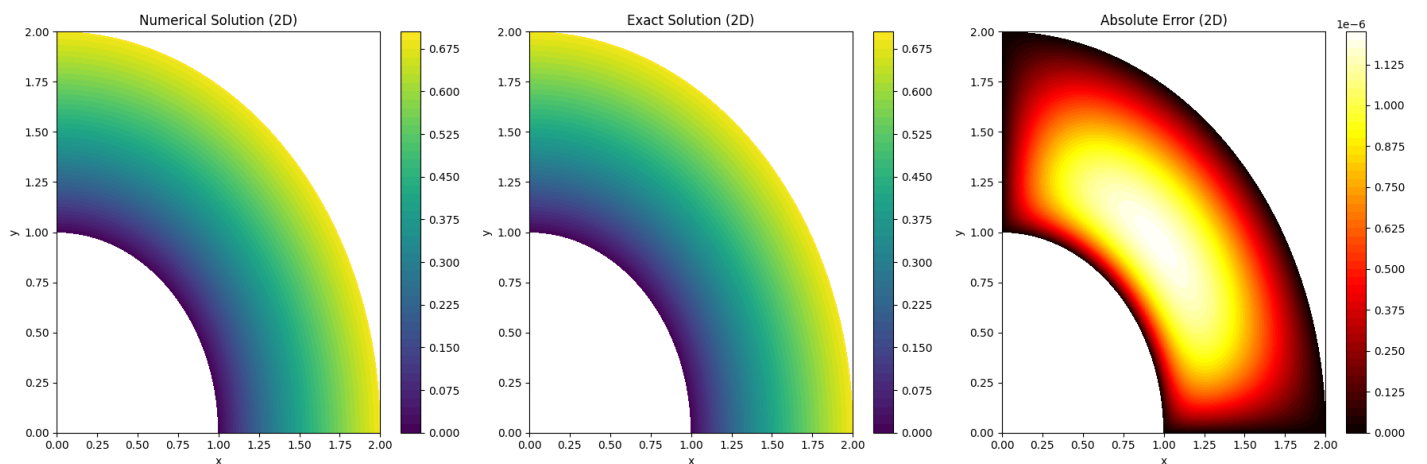


Figure 1. Soluciones 2D: numérica, exacta y error absoluto.

Conclusiones

El esquema de diferencias finitas en coordenadas polares aproximó con éxito la ecuación de Laplace, con convergencia de orden 2 en L_2 y L_∞ , y 3 en $\|\cdot\|_h$. Los errores se concentran cerca de el centro, validando el método para dominios radiales. Este trabajo refuerza la utilidad de métodos numéricos en problemas aplicados.